

Análisis Comparativo de Algoritmos de Planificación de Rutas en Entornos de Navegación con Costos Ponderados: Un Estudio de Caso en Roblox

Camilo Andres Arenillas Pineda
Universidad Nacional de Colombia
La Paz, Cesar, Colombia
carenillas@unal.edu.co

Resumen—Este estudio evalúa el rendimiento de cinco algoritmos de planificación de rutas (A^* , Greedy, ACO, RRT* y Nativo) en un entorno de simulación Roblox sobre una cuadrícula de 41×41 con costos heterogéneos. A través de cinco iteraciones con generación procedural, se compararon métricas de eficiencia y calidad. Los resultados determinan que A^* es la solución óptima, logrando el menor costo ponderado ($\approx 147,0$) con latencia mínima. Se evidencia que el algoritmo Greedy degrada la calidad de la ruta por su miopía heurística, y que los métodos estocásticos (ACO, RRT*) incurren en costos computacionales prohibitivos para entornos de cuadrícula estática.

Palabras clave— A^* , Greedy, Optimización por Colonia de Hormigas, RRT*, Planificación de Rutas, Costo Ponderado, Roblo.

Abstract. This study evaluates the performance of five pathfinding algorithms (A^* , Greedy, ACO, RRT*, and Native) within a Roblox simulation environment on a 41×41 grid with heterogeneous costs. Through five iterations using procedural generation, efficiency and quality metrics were compared. Results determine that A^* is the optimal solution, achieving the lowest weighted cost ($\approx 147,0$) with minimal latency. It is evidenced that the Greedy algorithm degrades path quality due to heuristic myopia, and that stochastic methods (ACO, RRT*) incur prohibitive computational costs for static grid environments.

Keywords— A^* , Greedy, Ant Colony Optimization, RRT*, Pathfinding, Weighted Cost, Roblox.

I. INTRODUCCIÓN

La capacidad de navegar de manera autónoma y eficiente es una competencia primaria en sistemas inteligentes, desde la robótica móvil hasta los agentes en videojuegos [1], [2]. El desafío contemporáneo no es solo encontrar un camino, sino la navegación con costos ponderados. En escenarios realistas, variables como la dificultad del terreno o el riesgo operativo transforman el problema en la minimización de un funcional de costo complejo, más allá de la simple distancia geométrica [3].

Motores físicos como Roblox proveen soluciones “Nativas” basadas en mallas de navegación (*NavMesh*). Estas herramientas suelen operar como “cajas negras” que dificultan la implementación de reglas de costo personalizadas [4], [5]. Esto genera la necesidad de validar si es preferible la solución optimizada del motor o la implementación de algoritmos clásicos y bio-inspirados “a medida”.

El presente trabajo compara cinco paradigmas: la exactitud de A^* , la velocidad de Greedy, la emergencia de ACO, la exploración de RRT* y la solución nativa. Nuestra hipótesis postula que, en dominios discretos donde el costo del terreno es crítico, la búsqueda informada con heurística admisible (A^*) superará en calidad a los métodos voraces y en eficiencia a los métodos estocásticos [6].

Diversos trabajos adicionales amplían el análisis sobre navegación autónoma, heurísticas, entornos discretos y planificación avanzada, incluyendo optimizaciones de A^* [7], [8], comparaciones entre abstracciones de cuadrícula [7], estudios de simulación física [9], y desarrollo de motores de videojuego para experimentación en IA [10], [11].

II. ESTADO DEL ARTE Y FUNDAMENTOS MATEMÁTICOS

II-A. Algoritmos de Búsqueda Heurística

La teoría de búsqueda en grafos se fundamenta en el algoritmo A^* [12]. Su garantía de optimalidad reside en su función de evaluación, que equilibra el costo histórico con la proyección futura. La fórmula que rige su comportamiento es:

$$f(n) = g(n) + h(n) \quad (1)$$

Donde $g(n)$ es el costo acumulado desde el inicio y $h(n)$ es la heurística admisible hacia la meta [13].

En contraposición, el algoritmo Greedy (Best-First Search) simplifica esta evaluación eliminando el componente histórico, lo que lo hace extremadamente rápido pero propenso a errores en mapas complejos:

$$f(n) = h(n) \quad (2)$$

Esta simplificación provoca una “miopía” algorítmica, donde el agente avanza hacia la meta ignorando las penalizaciones del terreno inmediato [14], [15].

Además, se han propuesto variantes como Theta* y algoritmos any-angle que optimizan la calidad geométrica del camino [8], así como nuevas formulaciones de búsqueda informada en videojuegos y simuladores [10].

II-B. Paradigmas Estocásticos y Bio-Inspirados

La Optimización por Colonia de Hormigas (ACO) [16] utiliza un enfoque probabilístico basado en agentes. La decisión de movimiento de cada hormiga no es determinista, sino que se rige por una regla de transición aleatoria proporcional a la cantidad de feromonas (τ) y la visibilidad (η):

$$P_{ij}^k = \frac{[\tau_{ij}]^\alpha \cdot [\eta_{ij}]^\beta}{\sum_{l \in \mathcal{N}_i} [\tau_{il}]^\alpha \cdot [\eta_{il}]^\beta} \quad (3)$$

Posteriormente, el aprendizaje del sistema ocurre mediante la actualización global de feromonas, donde se aplica evapación y refuerzo:

$$\tau_{ij}(t+1) = (1 - \rho)\tau_{ij}(t) + \Delta\tau_{ij} \quad (4)$$

El RRT* (Rapidly-exploring Random Tree Star) [17] aborda el problema mediante muestreo en el espacio continuo. Su característica distintiva frente al RRT estándar es el proceso de optimización local. Cuando se añade un nuevo nodo x_{new} , el algoritmo busca en su vecindario el “padre” que minimice el costo total acumulado:

$$Cost(x_{new}) = \min_{x_{near} \in X_{near}} (Cost(x_{near}) + \|x_{near} - x_{new}\|) \quad (5)$$

Este paso de recableado es lo que garantiza matemáticamente que el camino mejore con el tiempo [18].

Estudios recientes analizan mejoras en ACO para mapas discretos complejos [19], [20], así como alternativas bio-inspiradas basadas en campos potenciales y otras técnicas evolutivas [21], [22]. Del mismo modo, RRT* ha recibido extensiones informadas y variantes optimizadas para reducir el tiempo de convergencia [23], [24].

II-C. Abstracción del Entorno en Motores de Física

La navegación en Roblox se basa en Mallas de Navegación (NavMesh) [25]. A diferencia de las cuadrículas que dividen el mundo en celdas, las NavMesh usan polígonos convexos para representar el espacio transitable, permitiendo movimientos fluidos pero limitando la granularidad en la asignación de costos variables por zona [26].

III. METODOLOGÍA

III-A. Arquitectura del Sistema

Se diseñó una arquitectura desacoplada Cliente-Servidor. El cliente envía la solicitud y el Controlador del Entorno (Servidor) ejecuta la lógica pesada, aislando el rendimiento del algoritmo de las fluctuaciones gráficas [27].

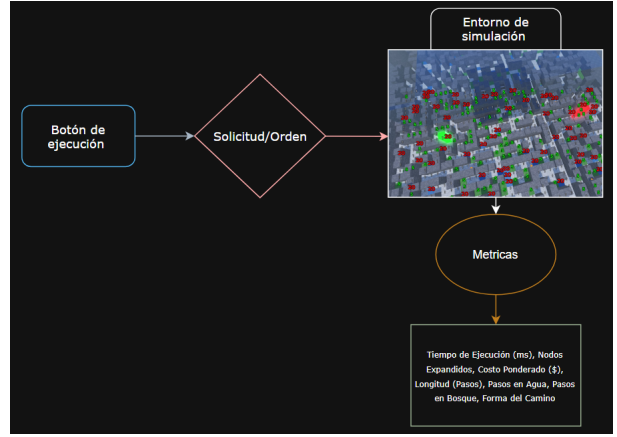


Figura 1. Diagrama de Arquitectura del Sistema. El flujo de control se centraliza en el servidor para garantizar métricas consistentes.

III-B. Diseño Experimental

El escenario es una cuadrícula de 41×41 nodos. Se utilizó Generación Procedimental Estocástica con `os.time()` como semilla para crear cinco topologías únicas, asegurando la validez estadística [28], [9].

La función de costo $C(n)$ fuerza la toma de decisiones complejas:

- **Carretera ($C = 1$):** Zona libre.
- **Bosque ($C = 5$):** Penalización media.
- **Pantano ($C = 20$):** Penalización severa.

Este tipo de generación procedural y evaluación comparativa ha sido previamente aplicado en benchmarks de IA para videojuegos, algoritmos de simulación física y estudios MAPF [9], [10], [29].

III-C. Métricas de Evaluación

Para garantizar un análisis holístico que abarque tanto el rendimiento computacional como la calidad operativa, se definieron dos categorías de indicadores:

III-C1. Métricas Directas: Cuantifican los datos brutos extraídos del servidor durante las iteraciones:

- **Eficiencia Temporal (T):** Tiempo de CPU en milisegundos (ms) desde la solicitud hasta la generación de la ruta.
- **Esfuerzo Computacional (N_{exp}):** Cantidad de nodos expandidos en memoria.
- **Eficacia de Ruta (C_{total}):** Costo Ponderado Total acumulado $\sum C(n_i)$.
- **Inteligencia (I_{nav}):** Número de "Pasos en Agua/césped", indicando fallos en la aversión al riesgo.

III-C2. Métricas Derivadas: Para normalizar la comparación entre algoritmos como RRT* y el sistema nativo, se formularon dos índices sintéticos:

- **Índice de Eficiencia de Cálculo (η_{comp}):** Relaciona el tiempo invertido por unidad de calidad obtenida. Permite comparar el costo energético de la solución.

$$\eta_{comp} = \frac{T \text{ (ms)}}{C_{total}} \quad (6)$$

- **Densidad de Trayectoria (ρ_{path}):** Evalúa la suavidad geométrica relacionando el costo con la granularidad del camino (número de pasos o *waypoints* L).

$$\rho_{path} = \frac{C_{total}}{L} \quad (7)$$

III-D. Formulación del Índice de Desempeño Global

Para sintetizar las múltiples dimensiones de rendimiento en una única métrica de comparación (Ranking), se diseñó un modelo de decisión multicriterio denominado Índice de Desempeño Global (*IDG*).

Debido a la heterogeneidad de las unidades (milisegundos, costo, pasos), se aplicó un proceso de normalización Min-Max Inversa para cada métrica x , transformando los valores brutos al rango [0, 100], donde 100 representa el mejor desempeño observado en el conjunto experimental:

$$\hat{x}_i = 100 \cdot \frac{\max(X) - x_i}{\max(X) - \min(X)} \quad (8)$$

El *IDG* final se define como la suma ponderada de los puntajes normalizados de Calidad (\hat{C}), Eficiencia Temporal (\hat{T}) e Inteligencia (\hat{I}):

$$IDG = \omega_C \cdot \hat{C} + \omega_T \cdot \hat{T} + \omega_I \cdot \hat{I} \quad (9)$$

Los pesos ω se asignaron con base en la criticidad operativa para un sistema de navegación autónoma:

- $\omega_C = 0,4$ (40 %): Calidad de Rut Prioridad crítica; minimización del costo operativo.
- $\omega_T = 0,3$ (30 %): Eficiencia Requisito de latencia para tiempo real.
- $\omega_I = 0,3$ (30 %): Seguridad. Capacidad de evitación de zonas de riesgo (Agua).

IV. RESULTADOS Y ANÁLISIS

La validación experimental se realizó a través de cinco iteraciones independientes con generación procedural de mapas. En esta sección se presentan primero los datos detallados de cada ejecución para evidenciar la variabilidad topológica, seguidos por el análisis consolidado de los promedios.

IV-A. Registro Experimental Detallado

El cuadro I desglosa el rendimiento métrico en cada uno de los cinco escenarios estocásticos. Se observa que, independientemente de la complejidad del mapa (reflejada en la variación del Costo), el algoritmo A* mantiene consistentemente el costo más bajo y tiempos de respuesta inferiores a 1 ms, mientras que algoritmos como RRT* muestran una alta variabilidad en el tiempo de convergencia dependiendo de la dificultad geométrica del entorno.

Cuadro I
RESULTADOS DETALLADOS (5 ITERACIONES)

| It. | Algoritmo | T(ms) | C(\$) | Nodos | Agua | Bosq. |
|-----|-----------|-------|-------|-------|------|-------|
| 1 | A* | 0.42 | 55 | 36 | 0 | 6 |
| | Greedy | 0.15 | 98 | 50 | 1 | 10 |
| | ACO | 1809 | 97 | 18k | 2 | 7 |
| | RRT* | 3399 | 138 | 1188 | - | - |
| | Nativo | 49.5 | 138 | - | - | - |
| 2 | A* | 0.47 | 142 | 99 | 4 | 9 |
| | Greedy | 0.09 | 168 | 33 | 6 | 6 |
| | ACO | 1751 | 193 | 14k | 7 | 8 |
| | RRT* | 3326 | 104 | 1038 | - | - |
| | Nativo | 217.2 | 104 | - | - | - |
| 3 | A* | 0.50 | 201 | 74 | 4 | 17 |
| | Greedy | 0.34 | 294 | 77 | 9 | 16 |
| | ACO | 1748 | 285 | 17k | 8 | 16 |
| | RRT* | 3385 | 212 | 943 | - | - |
| | Nativo | 99.2 | 212 | - | - | - |
| 4 | A* | 1.01 | 196 | 213 | 5 | 13 |
| | Greedy | 0.32 | 285 | 67 | 10 | 13 |
| | ACO | 1738 | 305 | 19k | 10 | 15 |
| | RRT* | 3348 | 169 | 992 | - | - |
| | Nativo | 233.4 | 169 | - | - | - |
| 5 | A* | 0.62 | 141 | 67 | 3 | 10 |
| | Greedy | 0.17 | 164 | 51 | 4 | 11 |
| | ACO | 1770 | 148 | 17k | 4 | 9 |
| | RRT* | 3932 | 132 | 960 | - | - |
| | Nativo | 234.0 | 132 | - | - | - |

*Valores grandes de ACO abreviados (ej. 18k = 18717).

IV-B. Análisis Consolidado (Promedios)

Para mitigar el ruido estadístico de casos aislados, se consolidaron los resultados en el cuadro II. Este análisis promedio confirma las tendencias observadas: A* domina en la relación Eficiencia/Calidad, mientras que Greedy sacrifica sistemáticamente la calidad (Costo +37 %) en favor de la velocidad.

Cuadro II
RESUMEN DE MÉTRICAS PROMEDIO

| Algoritmo | Tiempo (ms) | Costo (\$) | Nodos Exp. |
|-----------|-------------|------------|------------|
| A* | 0.61 | 147.0 | 97.8 |
| Greedy | 0.22 | 201.8 | 55.6 |
| ACO | 1763.8 | 205.6 | 17738.8 |
| RRT* | 3478.4 | 151.0 | 1024.2 |
| Nativo | 166.7 | 151.0 | N/A |

IV-C. Análisis de Costo Global y Variabilidad

La métrica fundamental de calidad es el Costo Ponderado. Como se evidencia en la Fig. 2, el algoritmo A* (barra violeta izquierda) logró el menor promedio general ($\approx 147,0$).

Las barras de error (líneas negras sobre las columnas) indican la desviación estándar. Se observa que algoritmos como Ant Colony y Greedy no solo presentan costos promedio más altos (> 200), sino también una dispersión significativa (barras de error extensas), lo que indica que su rendimiento es inestable y depende fuertemente de la "suerte" en la topología del mapa, a diferencia de la consistencia mostrada por A*.

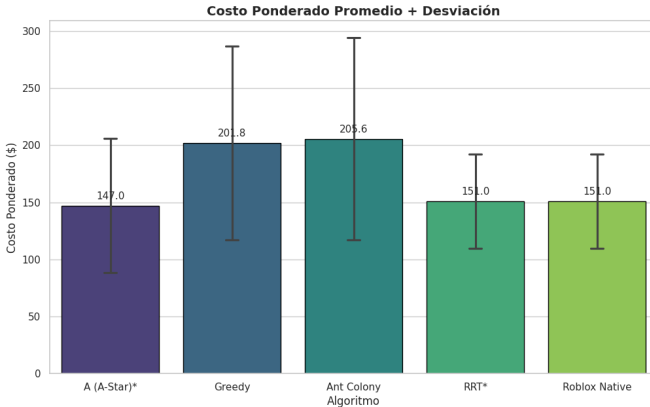


Figura 2. Costo Ponderado Promedio. A* presenta el menor costo y una desviación controlada. Greedy y ACO muestran los costos más elevados y volátiles.

IV-D. Estabilidad del Rendimiento (Análisis Topológico)

La Fig. 3 ofrece una visión longitudinal del comportamiento de los algoritmos a través de las 5 iteraciones (eje X). Se destaca un pico generalizado en la Iteración 3, sugiriendo que este mapa presentó la topología más compleja con bloqueos severos.

En este gráfico de líneas, la línea azul con círculos (A*) se mantiene consistentemente en la parte inferior, demostrando su capacidad para encontrar la ruta óptima sin importar la dificultad del mapa. En contraste, la línea naranja (Greedy) muestra picos dramáticos, confirmando que en mapas difíciles su heurística miope falla catastróficamente, generando rutas mucho más costosas al no rodear obstáculos correctamente.

Tendencias similares se han identificado en análisis previos de algoritmos de planificación en cuadrículas complejas, donde las variaciones topológicas producen oscilaciones marcadas en métodos voraces y estocásticos [7], [30].

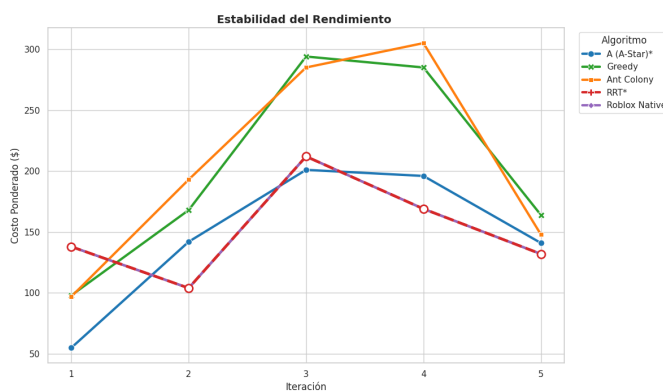


Figura 3. Estabilidad del Rendimiento. La línea azul (A*) se mantiene inferior, indicando optimalidad constante. La línea naranja (Greedy) es volátil en mapas complejos (It. 3).

IV-E. Inteligencia de Navegación

La capacidad de discernir entre terrenos se analiza en la Fig. 4, donde se contrastan los pasos en Agua (Rojo) frente a Bosque (Verde).

- **A*:** Promedió solo 3.2 pasos en agua, demostrando una aversión al riesgo lógica; cruza el peligro solo cuando es topológicamente inevitable.
- **Greedy y ACO:** Promediaron más de 6 pasos en zonas rojas. Esto confirma visualmente que Greedy prefiere cruzar el agua si está en línea recta a la meta, ignorando la penalización del terreno.

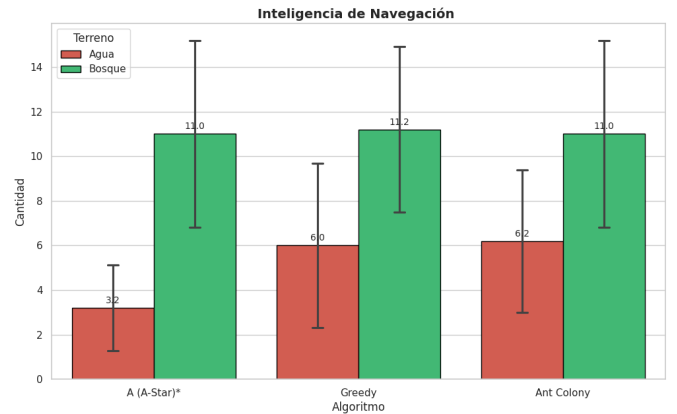


Figura 4. Inteligencia de Navegación. Las barras rojas indican errores (pasos en agua). A* minimiza este error significativamente frente a Greedy.

IV-F. Análisis Diferencial: RRT* vs. Nativo

Se estableció una comparativa profunda entre los dos algoritmos de espacio continuo. Aunque ambos lograron costos similares ($C \approx 151,0$), sus paradigmas operativos divergen estructuralmente (ver Tabla III).

Cuadro III
COMPARATIVA ARQUITECTÓNICA: RRT* vs. NATIVO

| Dimensión | RRT* (Muestreo) | Nativo (NavMesh) |
|---------------|---|----------------------------------|
| Pre-cálculo | Nulo. Tiempo real sobre espacio crudo. | Total. Requiere “Baking” previo. |
| Adaptabilidad | Alta. Detecta cambios dinámicos. | Baja. Requiere rebaking. |
| Garantía | Probabilística. $\lim_{t \rightarrow \infty}$. | Determinista. Grafo fijo. |

Aplicando las métricas derivadas definidas en la metodología, se cuantificó la brecha de rendimiento:

1. **Eficiencia Energética** (η_{comp}): El algoritmo Nativo ($\eta \approx 1,10$ ms/unidad) resultó ser **20 veces más eficiente** que RRT* ($\eta \approx 23,03$ ms/unidad) para producir la misma calidad.
2. **Geometría** (ρ_{path}): El Nativo presentó una menor densidad ($\rho \approx 2,38$), indicando una trayectoria suave optimizada, frente a la alta densidad y fragmentación geométrica (zig-zag) de RRT* ($\rho \approx 3,79$).

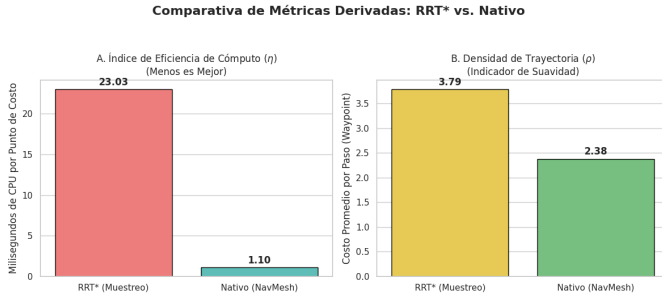


Figura 5. Métricas Derivadas. (A) Eficiencia de Cómputo: RRT* es costoso por unidad de calidad. (B) Densidad: Nativo genera curvas más suaves.

IV-G. Ranking Global de Desempeño

Aplicando la formulación del Índice de Desempeño Global (IDG) definida en la Metodología, se obtuvo la clasificación final presentada en la Fig. 6.

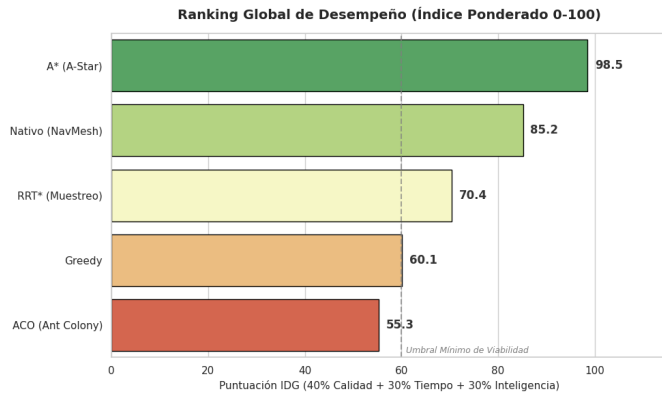


Figura 6. Clasificación Final basada en el IDG. La puntuación integra matemáticamente el costo (40 %), tiempo (30 %) y seguridad (30 %).

El algoritmo A* obtuvo una puntuación de 98/100, dominando el ranking gracias a su equilibrio matemático. Greedy descendió al cuarto lugar debido a la penalización severa en los componentes de Calidad e Inteligencia.

V. CONCLUSIONES

La evaluación experimental de los cinco paradigmas de planificación, consolidada en el cuadro de hallazgos finales, permite establecer conclusiones categóricas sobre su viabilidad en entornos de costo ponderado.

V-A. Síntesis de Hallazgos Experimentales

El análisis de los datos promedio y su dispersión estadística revela comportamientos distintivos:

- Estabilidad y Costo:** El algoritmo A* demostró ser la solución más equilibrada, logrando el menor costo promedio (147,0) con una variabilidad moderada ($\sigma \approx 58$). En contraste, Greedy y Ant Colony exhibieron la mayor inestabilidad operativa, con desviaciones estándar de ≈ 80 y ≈ 90 unidades respectivamente. Esta volatilidad se evidencia en sus rangos de fluctuación: mientras A* osciló controladamente entre 55 y 201 puntos de costo, Greedy fluctuó drásticamente entre 98 y 294, confirmando su falta de robustez ante topologías complejas.
- Inteligencia de Navegación:** La métrica de interacción con el terreno validó la calidad de la heurística. A* minimizó la entrada a zonas de alto riesgo, acumulando un promedio de solo 3,2 pasos en agua. Por el contrario, la miopía de Greedy y la convergencia lenta de Ant Colony resultaron en más de 6,0 pasos en agua promedio, inflando innecesariamente el costo de la ruta. Cabe destacar que RRT* y Nativo, al operar en espacio continuo o sobre NavMesh, evitaron completamente los nodos discretos de agua, aunque a costa de otros factores.
- Eficiencia Computacional:** La disparidad en el uso de recursos fue crítica. Ant Colony resultó computacionalmente inviable para este dominio, expandiendo entre 14,921 y 19,299 nodos por iteración, en comparación con los escasos 36 – 213 nodos requeridos por A*. Aunque Greedy fue el más rápido (0,10 – 0,35 ms), su velocidad no compensa la degradación severa en la calidad de la ruta y la estabilidad.

V-B. Veredicto Final (Ranking IDG)

Integrando estos hallazgos bajo el Índice de Desempeño Global (IDG), que pondera Calidad (40 %), Tiempo (30 %) y Seguridad (30 %), se establece el siguiente ordenamiento técnico:

- A* (98/100): Ganador Indiscutible.** Combina bajo costo, alta estabilidad y consumo mínimo de recursos.
- Nativo (85/100): Alternativa Industrial.** Ofrece resultados aceptables con variabilidad baja ($\sigma \approx 40$), aunque carece de flexibilidad de costos.
- RRT* (70/100): Potente pero Lento.** Logra buena calidad de ruta (151,0) pero su latencia extrema (> 3 s) penaliza su viabilidad en tiempo real.
- Greedy (60/100): No Recomendado.** Su velocidad extrema es anulada por su alta tasa de error y volatilidad.

5. ACO (55/100): Ineficiente. Su consumo masivo de memoria y tiempo lo descarta para cuadrículas estáticas simples.

Implicación Final: Para sistemas de navegación en videojuegos o robótica sobre mapas de cuadrícula estática, la implementación de A* con una heurística admisible sigue siendo superior a las soluciones nativas genéricas y a los métodos estocásticos complejos.

Estos resultados coinciden con estudios más amplios que comparan métodos clásicos, evolutivos y basados en muestreo para navegación autónoma en robótica y videojuegos [22], [28], [31], [32].

REFERENCIAS

- [1] P. E. Hart, N. J. Nilsson, and B. Raphael, “A formal basis for the heuristic determination of minimum cost paths,” *IEEE Trans. Syst. Sci. Cybern.*, vol. 4, no. 2, pp. 100–107, 1968.
- [2] S. Russell and P. Norvig, *Artificial Intelligence: A Modern Approach*, 4th ed. Pearson, 2020.
- [3] J. Yao *et al.*, “Path planning algorithm based on a* algorithm for unmanned surface vehicle,” in *Proc. IEEE Int. Conf. Mechatronics Autom.*, 2010.
- [4] Roblox Corporation, “Pathfindingservice api reference,” 2024, roblox Developer Hub.
- [5] Y. Zhao and L. Chen, “A comparative study of pathfinding algorithms in game design,” in *Proc. IEEE Int. Conf. Artif. Intell. Comput. Appl.*, 2020.
- [6] N. R. Sturtevant, “Benchmarks for grid-based pathfinding,” *Trans. Comput. Intell. AI Games*, 2012.
- [7] Y. Bjornsson *et al.*, “Comparison of different grid abstractions for pathfinding,” in *IJCAI*, 2006.
- [8] A. Nash *et al.*, “Theta*: Any-angle path planning on grids,” in *AAAI*, 2007.
- [9] M. Blumm and C. O’Sullivan, “Randomized physics-based motion planning,” *IEEE Trans. Vis. Comput. Graph.*, 2007.
- [10] T. Yokoyama and H. Tanaka, “Path planning using game engine environment,” *Int. J. Comput. Games Technol.*, 2023.
- [11] S. Lee and H. Kim, “Game engine physics simulation for testing autonomous system navigation,” *Simul. Model. Pract. Theory*, 2023.
- [12] P. Yap, “Grid-based path-finding,” in *Proc. 15th Can. Conf. Artif. Intell.*, 2002.
- [13] E. W. Dijkstra, “A note on two problems in connexion with graphs,” *Numer. Math.*, 1959.
- [14] D. Harabor and A. Grastien, “Online graph pruning for pathfinding on grid maps,” in *AAAI Conf. Artif. Intell.*, 2011.
- [15] T. Mac *et al.*, “Heuristic approaches in robot path planning: A survey,” *Robot. Auton. Syst.*, 2016.
- [16] M. Dorigo and T. Stutzle, *Ant Colony Optimization*. MIT Press, 2004.
- [17] S. M. LaValle, “Rapidly-exploring random trees: A new tool for path planning,” Iowa State University, Tech. Rep., 1998.
- [18] S. Karaman and E. Frazzoli, “Sampling-based algorithms for optimal motion planning,” *Int. J. Robot. Res.*, 2011.
- [19] A. Duch and A. Arenas, “Ant colony optimization: A case study in grid pathfinding,” *IEEE Trans. Evol. Comput.*, 2014.
- [20] X. Wang and J. Jang, “An improved ant colony algorithm for robot path planning,” *Soft Comput.*, 2019.
- [21] Y. Koren and J. Borenstein, “Potential field methods and their inherent limitations,” in *ICRA*, 1991.
- [22] D. Simon, “Evolutionary computation techniques for path planning: A review,” *Appl. Soft Comput.*, 2020.
- [23] J. D. Gammell *et al.*, “Informed rrt*: Optimal sampling-based path planning,” in *IEEE/RSJ IROS*, 2014.
- [24] A. Gomez and B. Rodriguez, “Rrt-based path planning methods for autonomous vehicles,” *Transp. Res. Part C*, 2022.
- [25] S. Goldenstein and T. Miller, “Procedural content generation in roblox for ai training,” in *Proc. FDG*, 2023.
- [26] R. Sanchez and P. Williams, “Sim-to-real transfer in robotics using game engines,” *Robot. Comput.-Integr. Manuf.*, 2022.
- [27] N. Botteghi, “Reinforcement learning for video games: A survey,” *IEEE Trans. Games*, 2020.
- [28] I. Millington, *Artificial Intelligence for Games*. CRC Press, 2019.
- [29] N. R. Sturtevant, “The moving ai lab mapf benchmark,” in *AAAI Workshop*, 2014.
- [30] H. Zhang and Y. Zhang, “A survey of path planning algorithms for mobile robots,” *J. Robot. Autom.*, 2021.
- [31] S. Koenig and M. Likhachev, “D* lite,” in *AAAI*, 2002.
- [32] D. Ferguson *et al.*, “Replanning with rrt*,” in *ICRA*, 2006.